



BUR920030155US1
Anderson, et al.

1/15
FIG. 1A

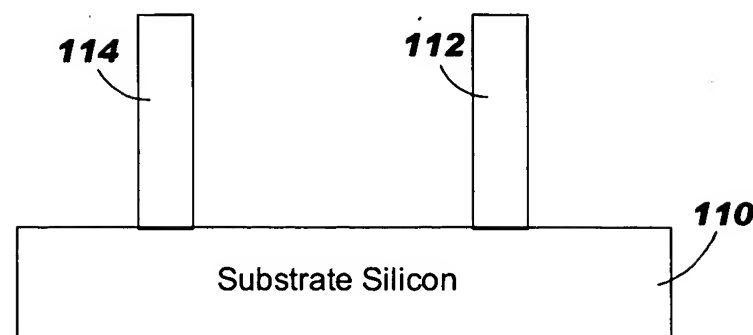
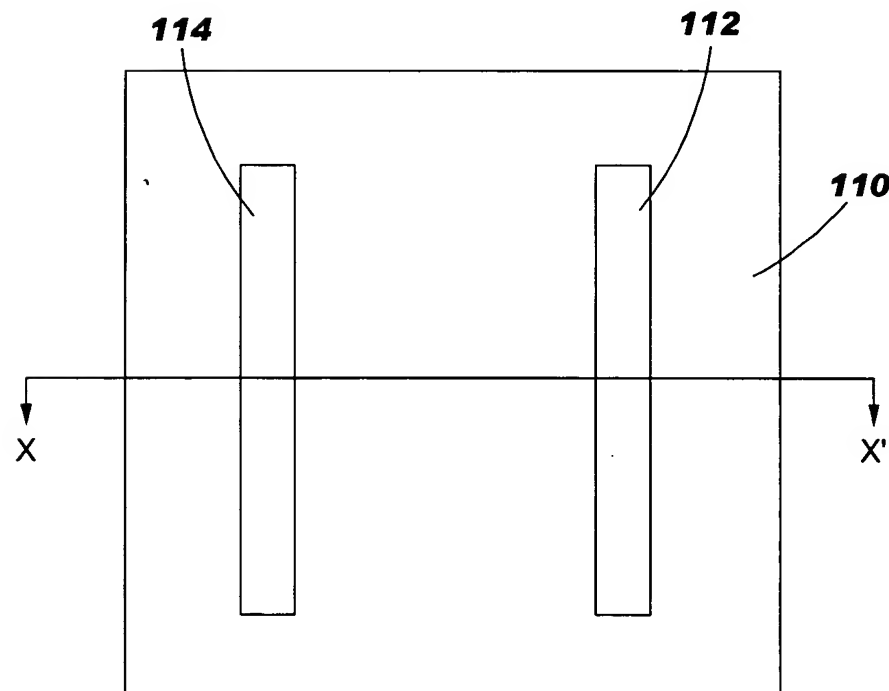


FIG. 1B



2/15
FIG. 2A

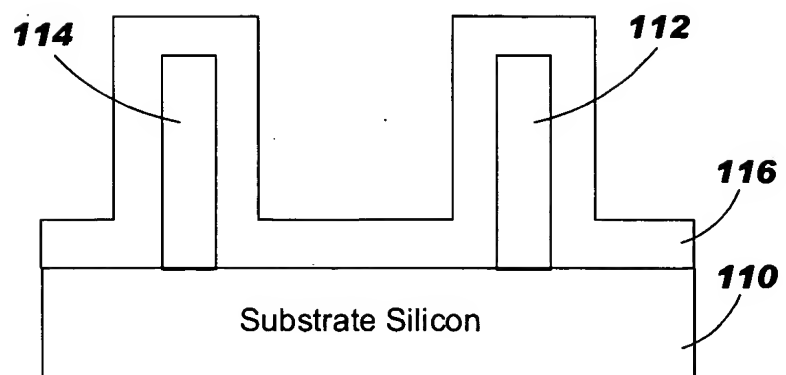
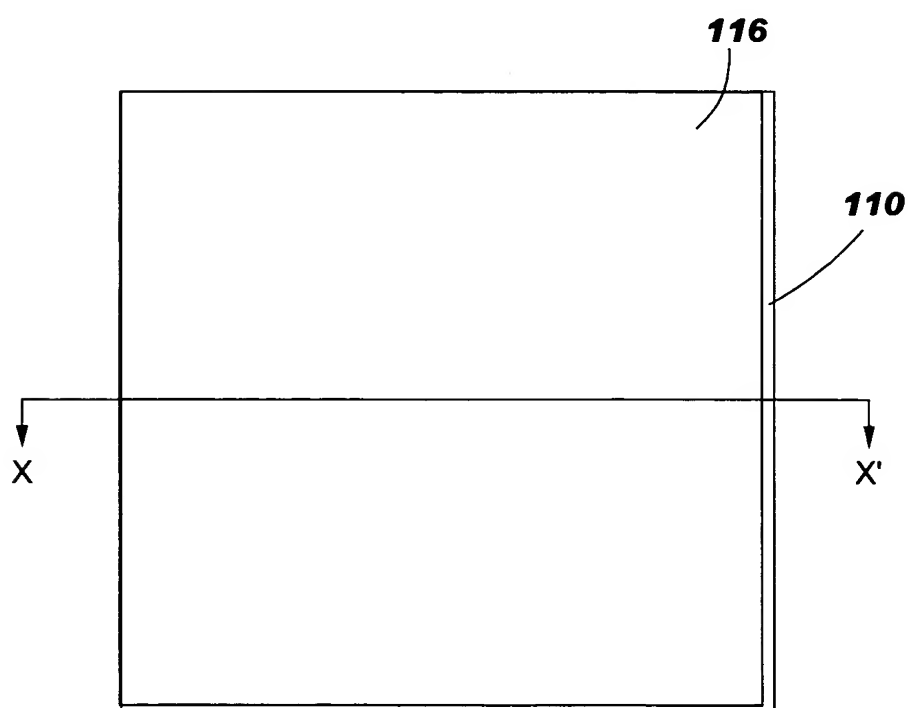


FIG. 2B



3/15
FIG. 3A

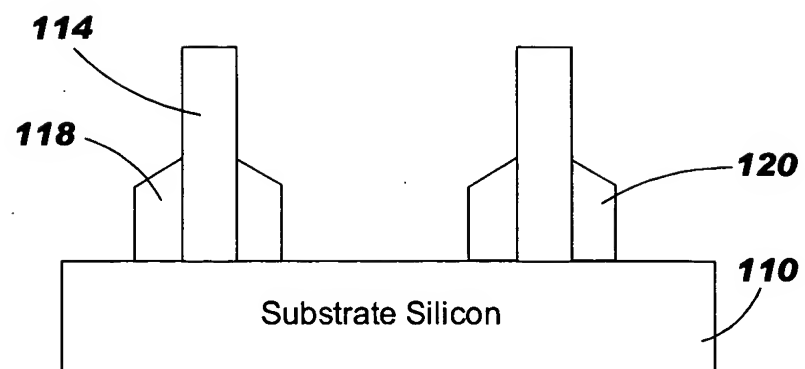
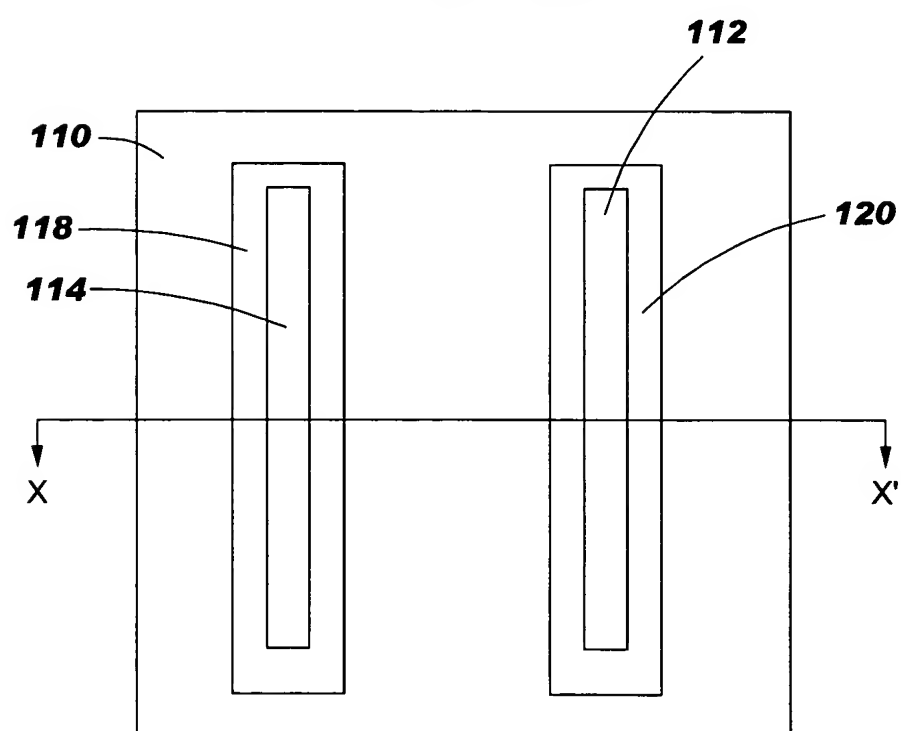


FIG. 3B



4/15

FIG. 4A

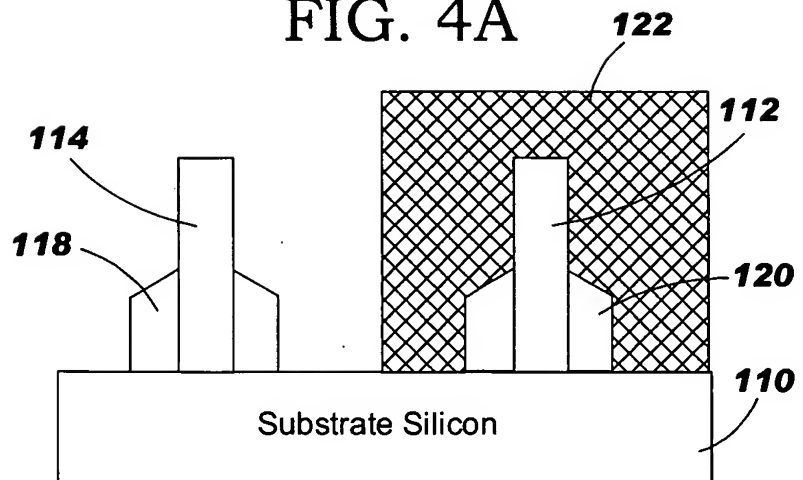
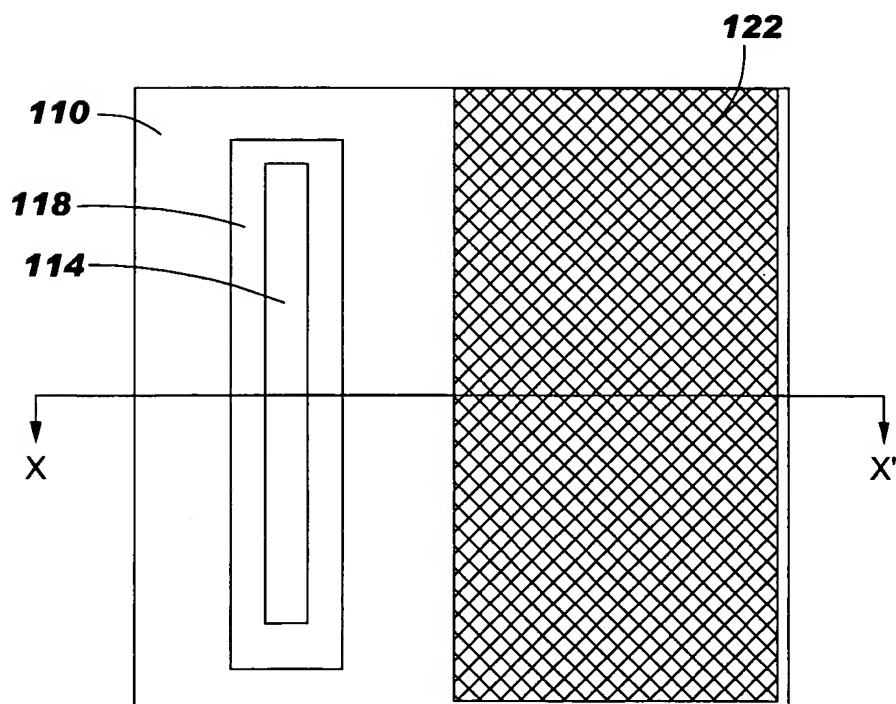


FIG. 4B



5/15

FIG. 5A

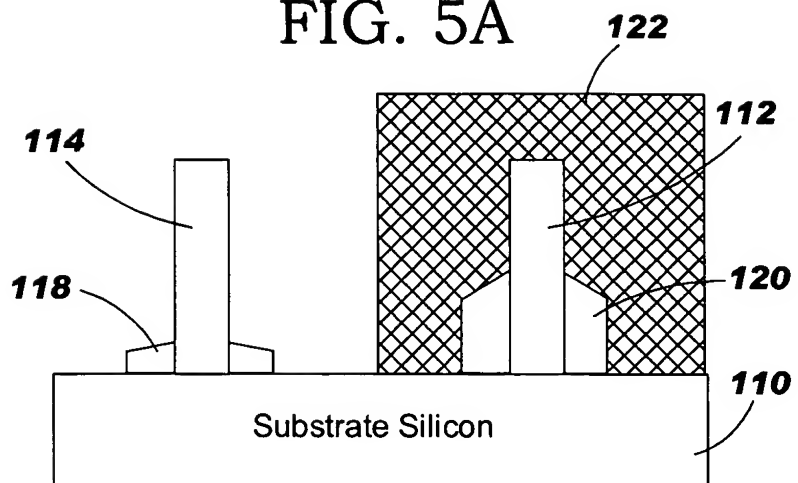
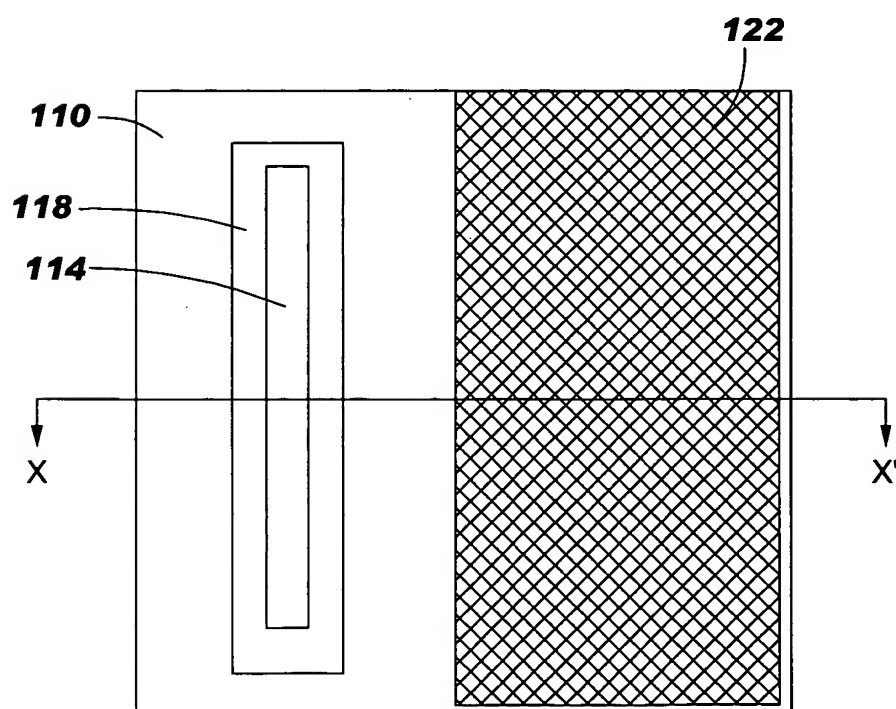


FIG. 5B



6/15
FIG. 6A

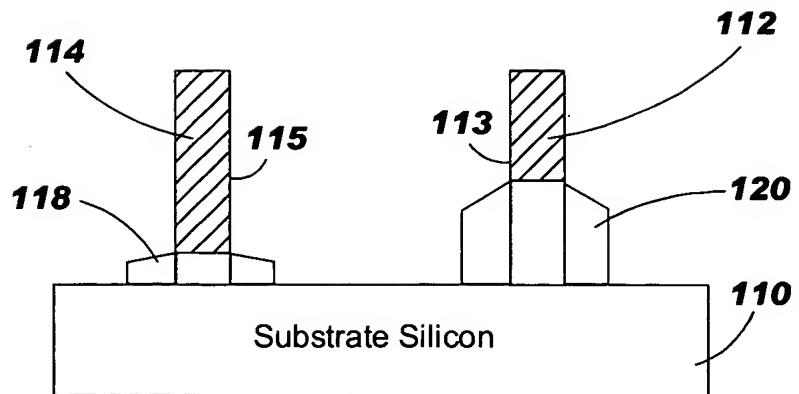
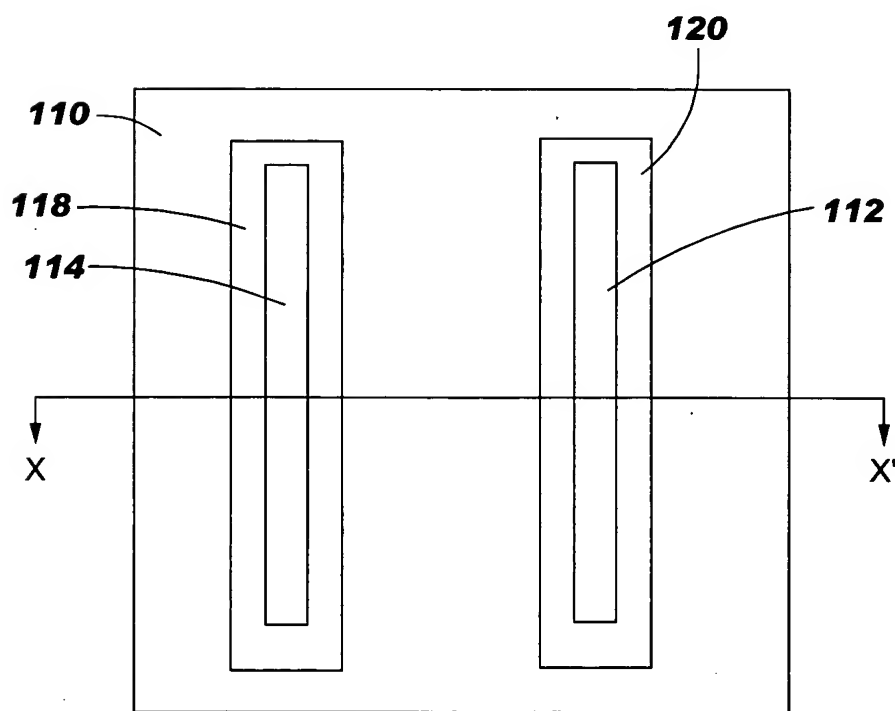


FIG. 6B



7/15
FIG. 7A

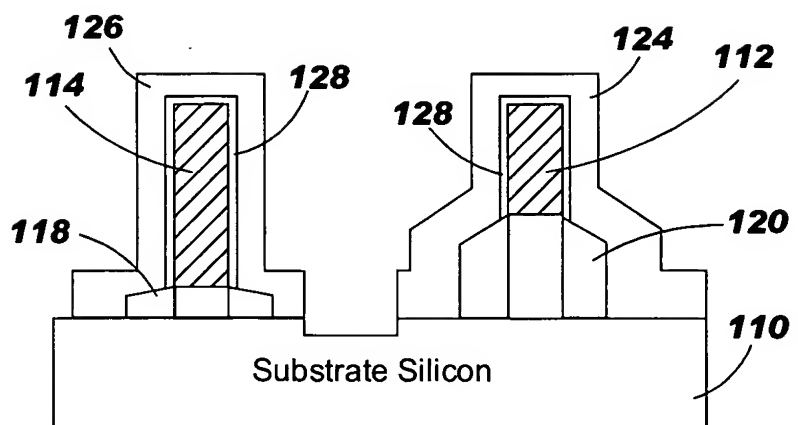
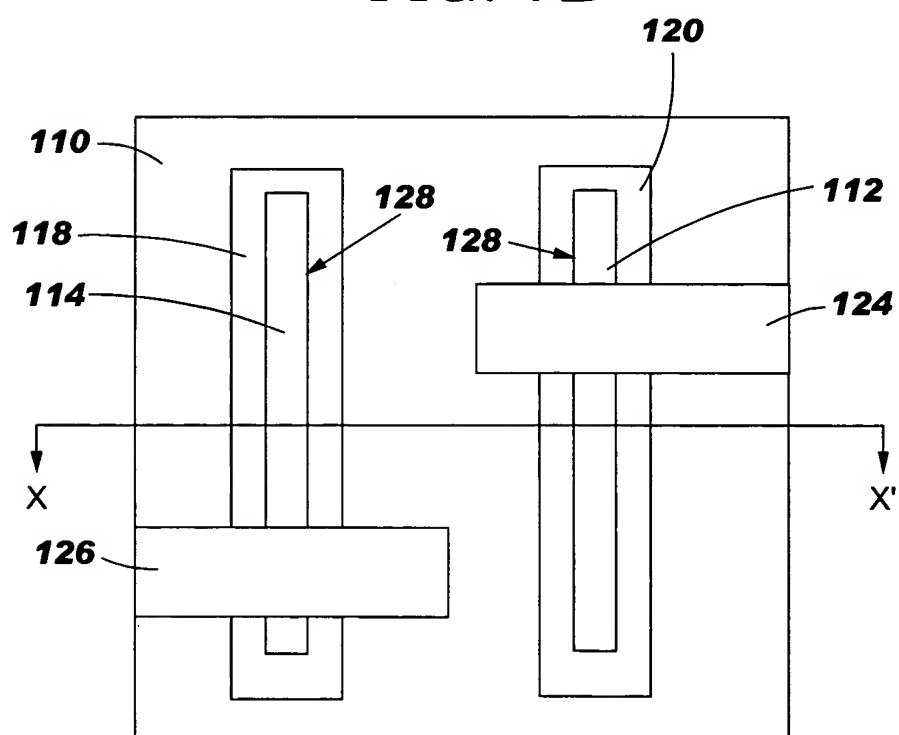


FIG. 7B



8/15
FIG. 8A

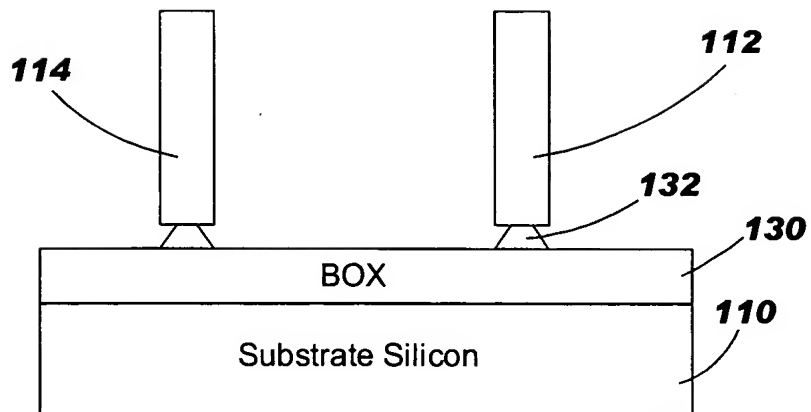
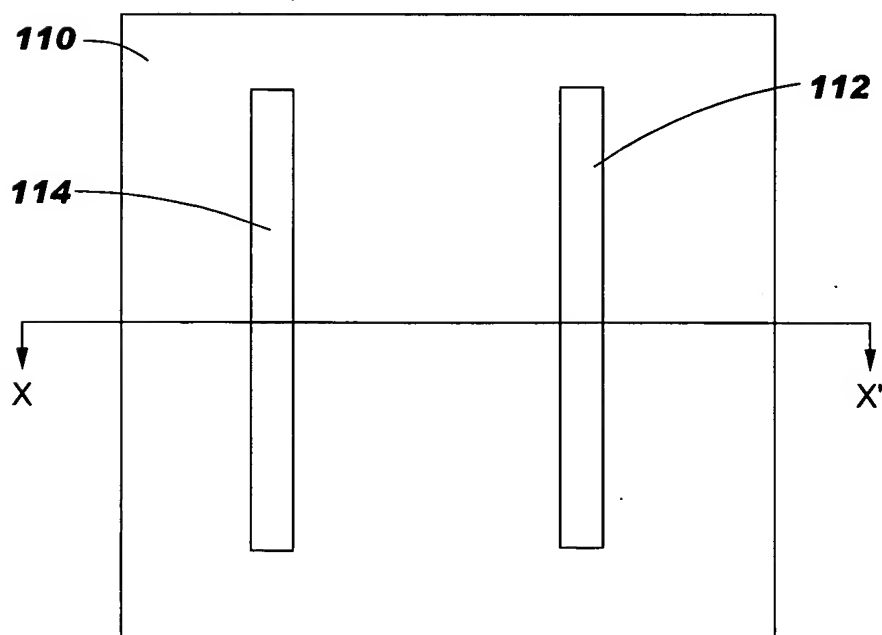


FIG. 8B



9/15

FIG. 9A

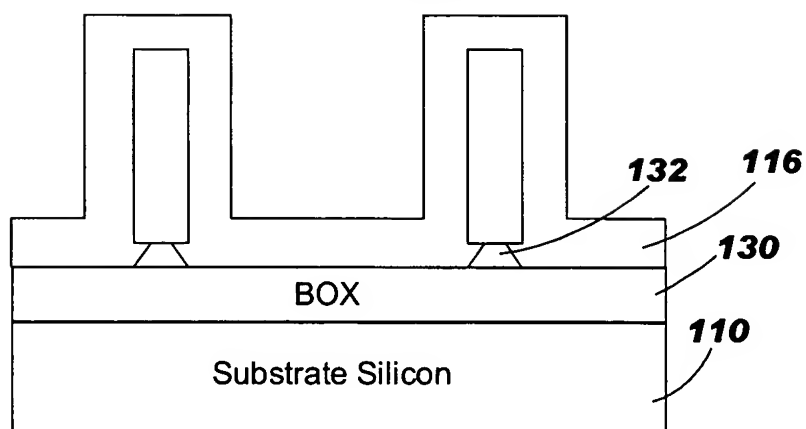
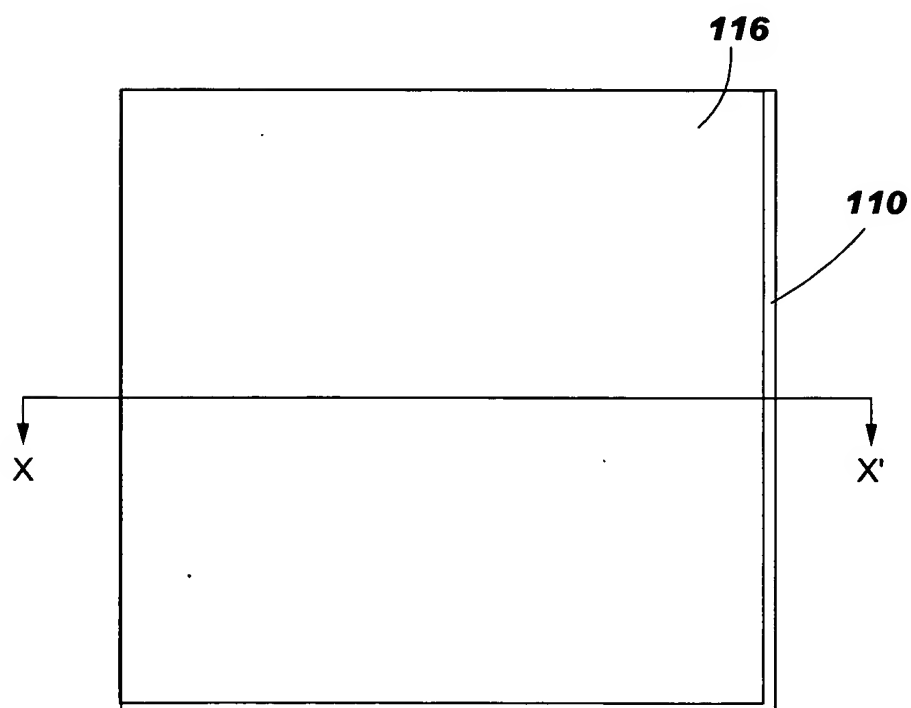


FIG. 9B



10/15
FIG. 10A

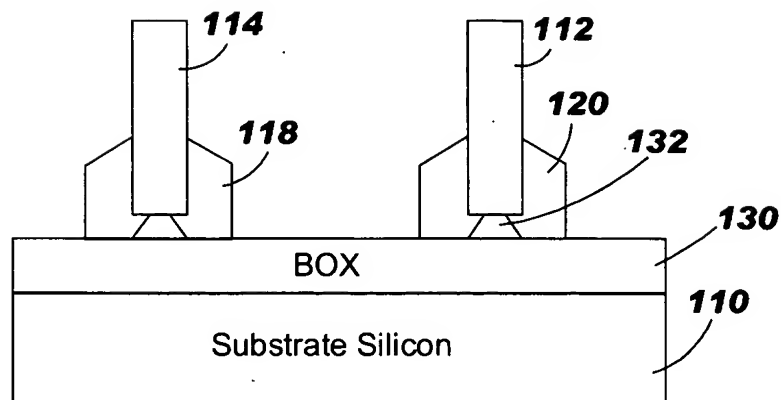
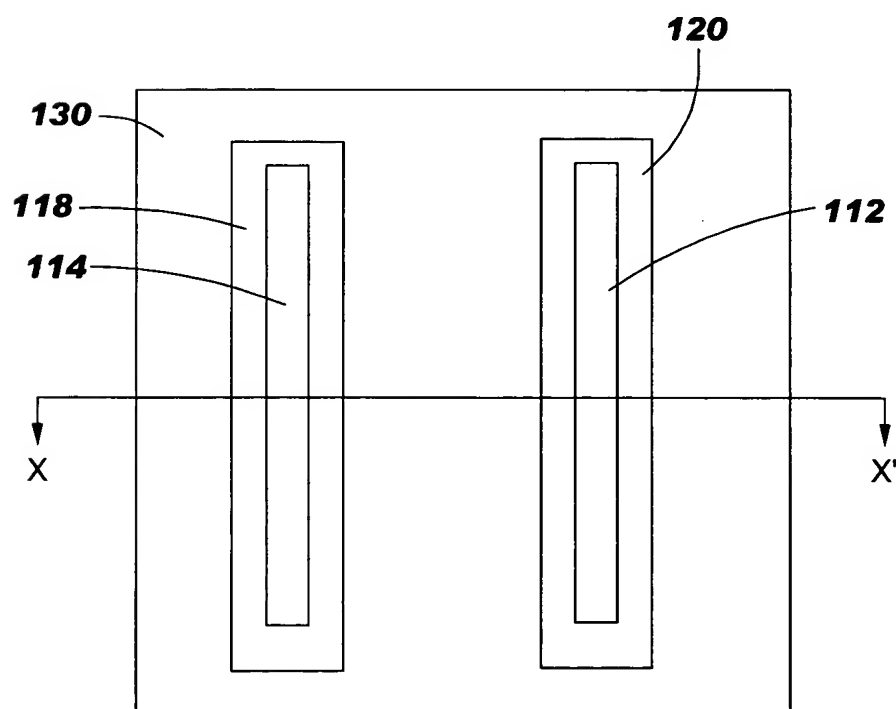


FIG. 10B



11/15

FIG. 11A

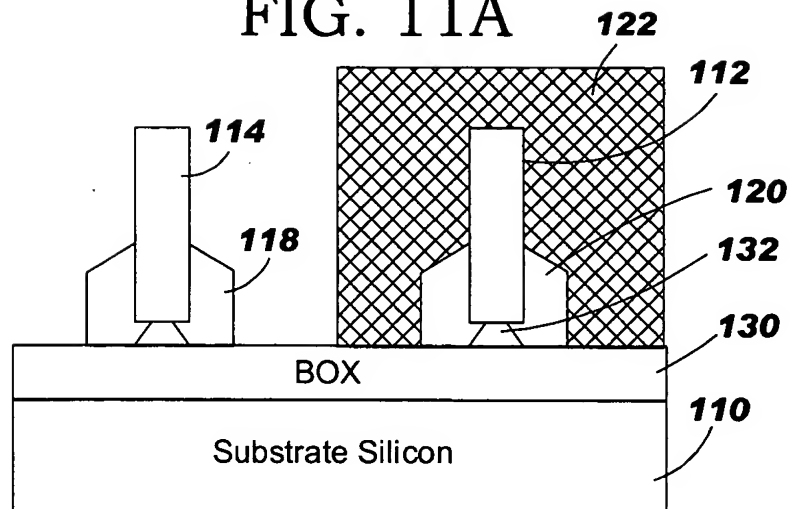
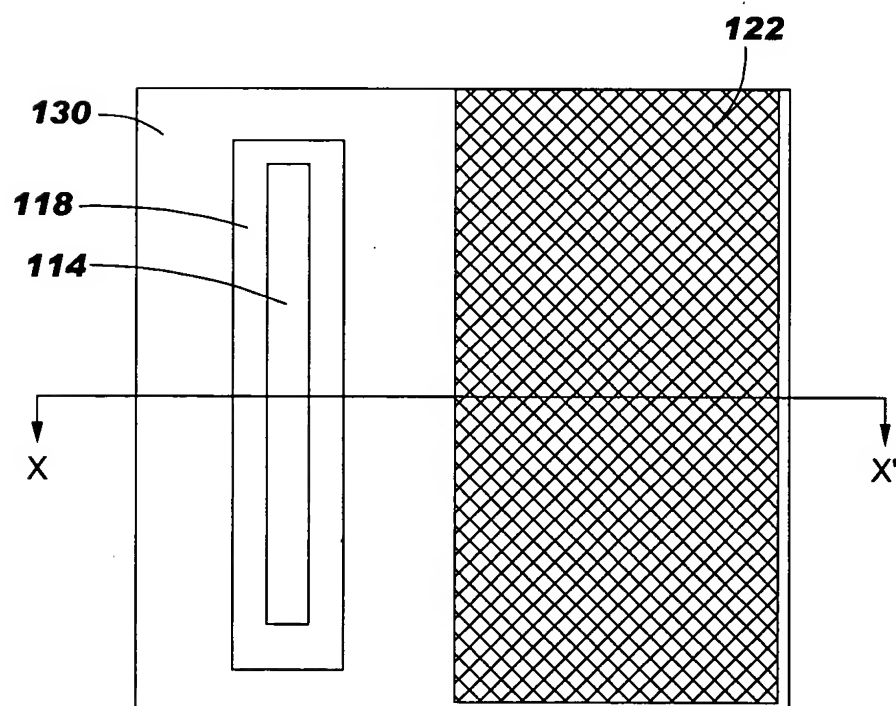


FIG. 11B



12/15
FIG. 12A

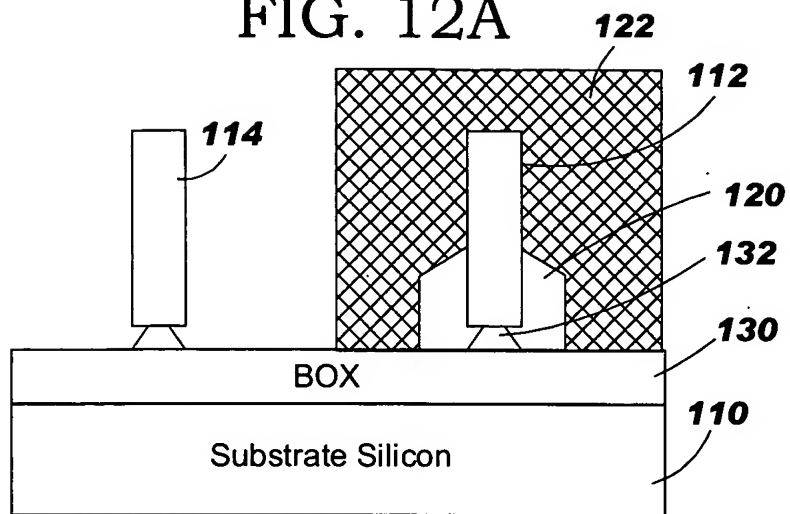
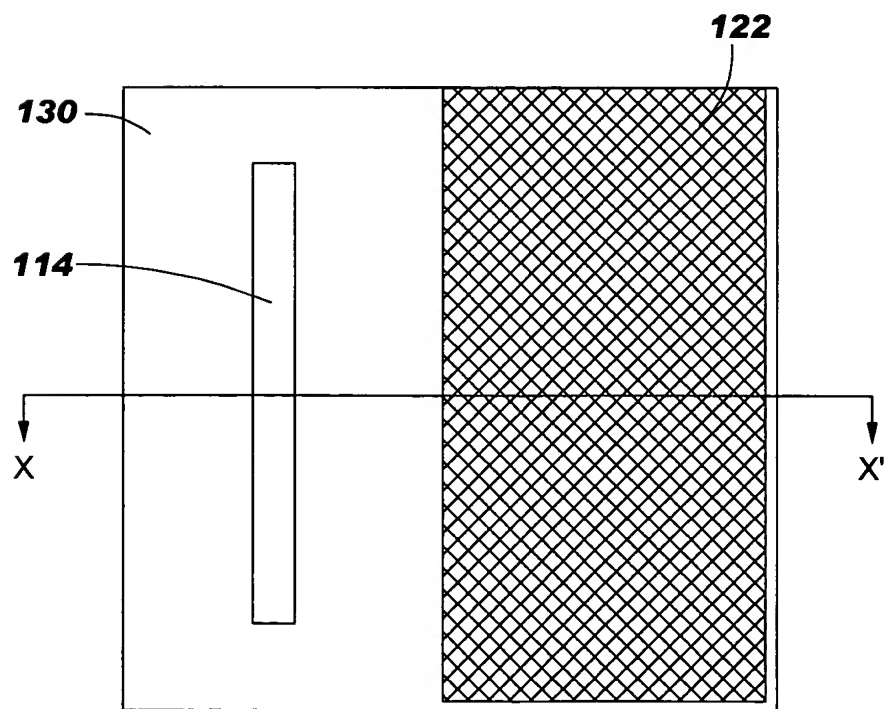


FIG. 12B



13/15
FIG. 13A

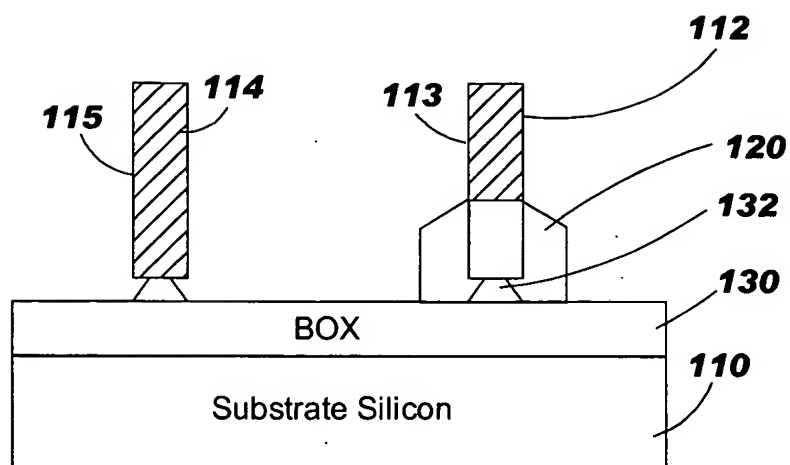
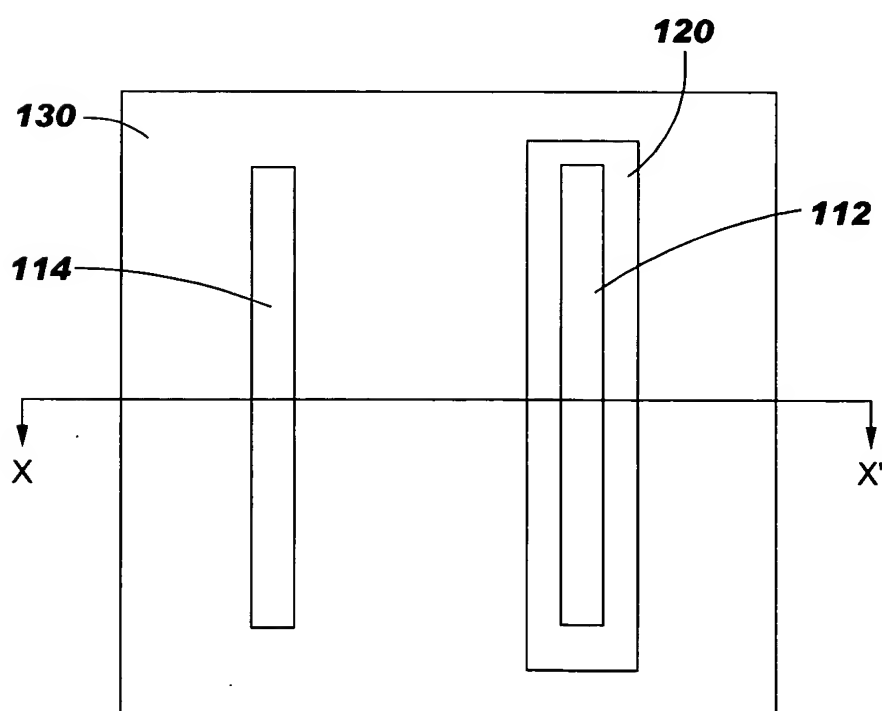


FIG. 13B



14/15
FIG. 14A

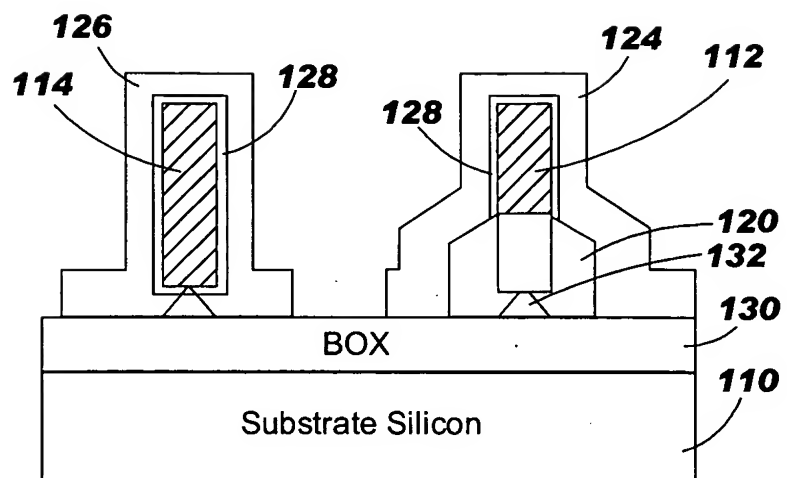
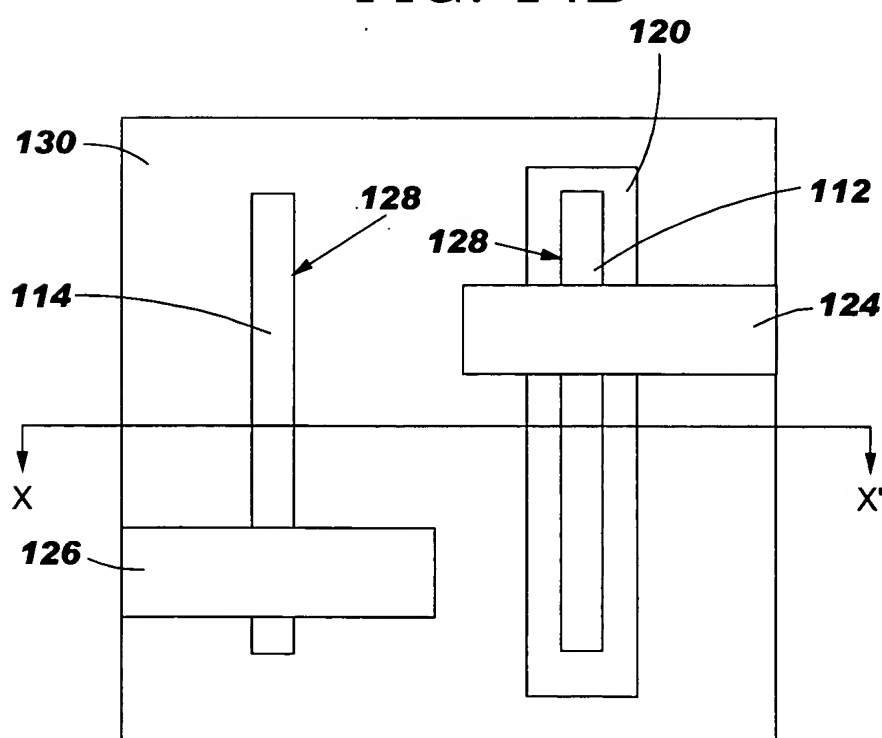


FIG. 14B



15/15

FIG. 15

